

Fig. 1

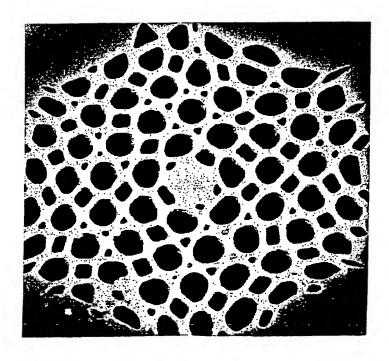


Fig. 2

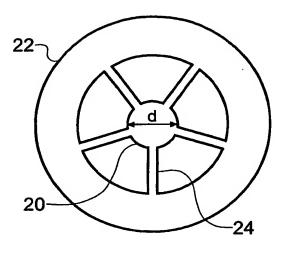


Fig. 3

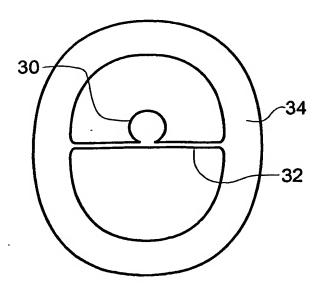


Fig. 4

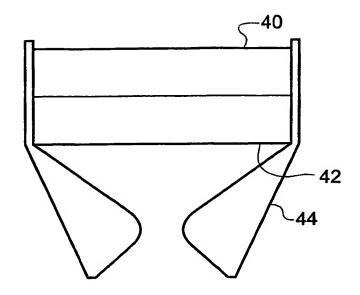


Fig. 5

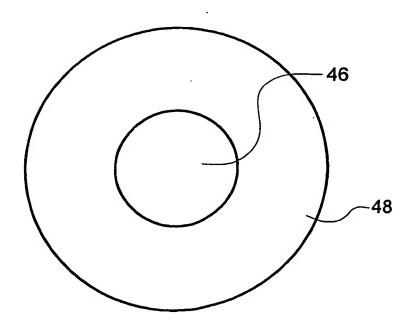


Fig. 6

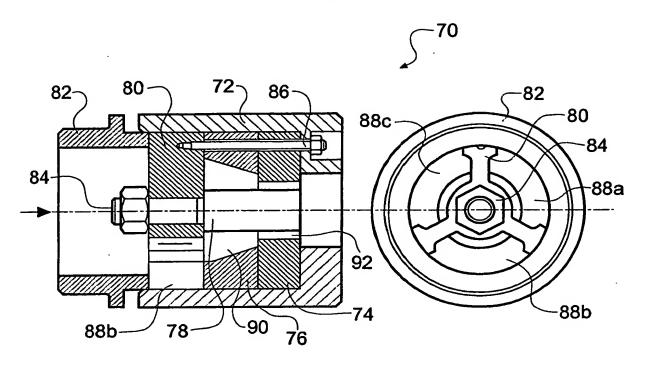
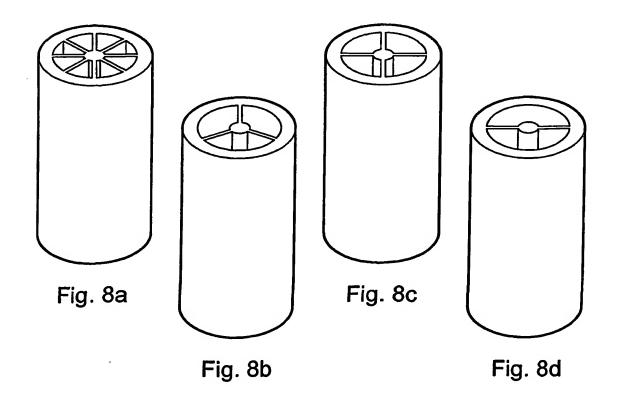
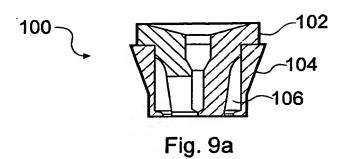


Fig. 7





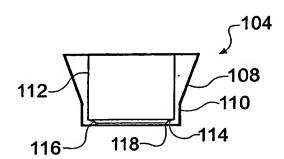
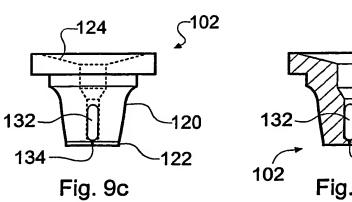
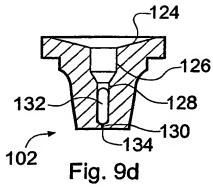
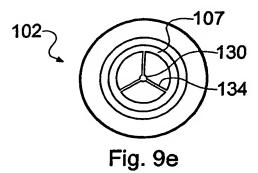


Fig. 9b







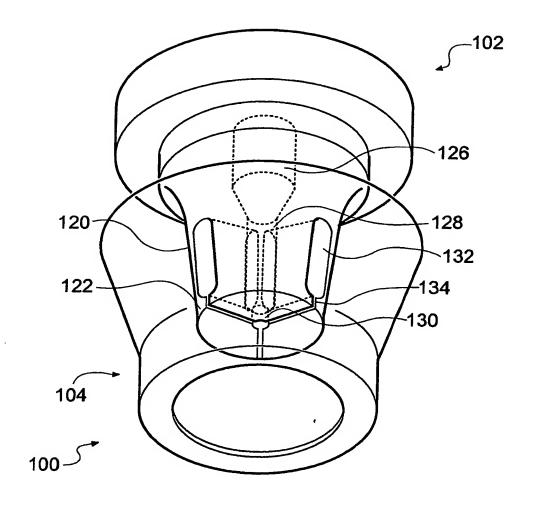


Fig. 10

PCT/GB03/00942

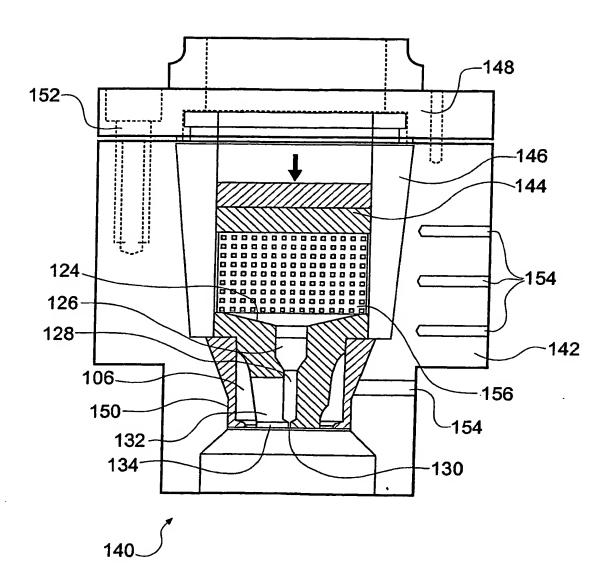


Fig. 11

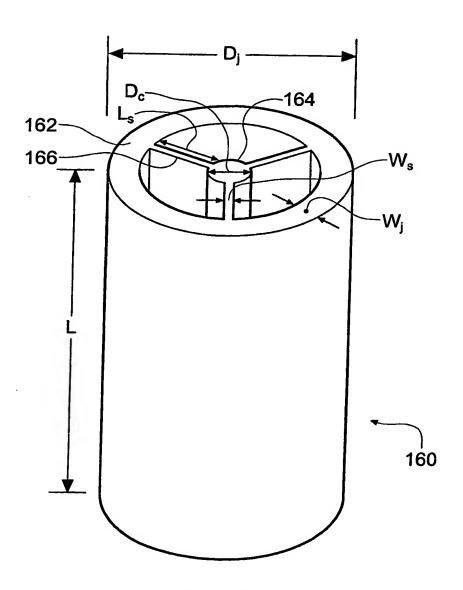
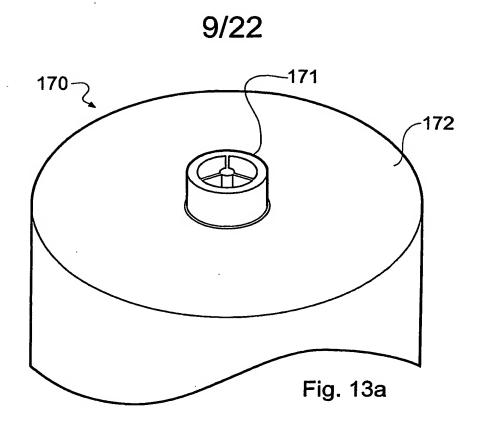
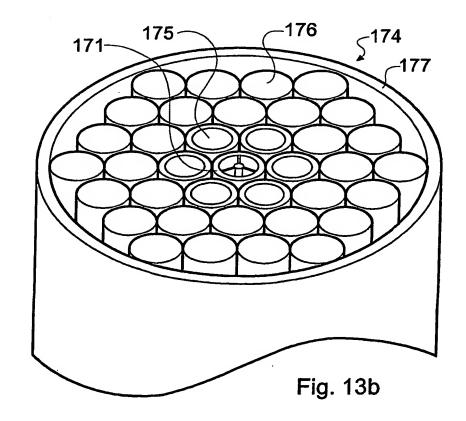


Fig. 12





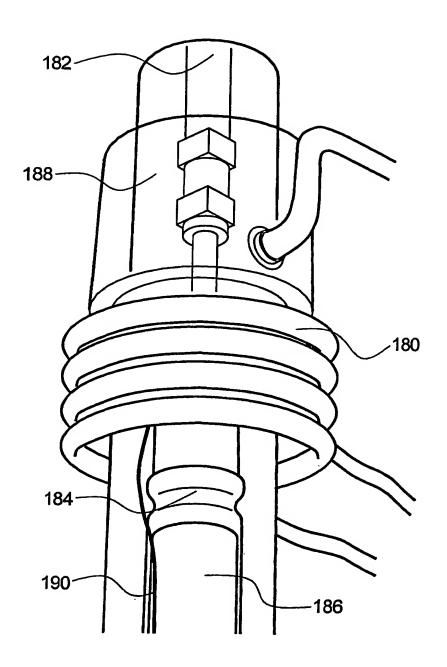


Fig. 14

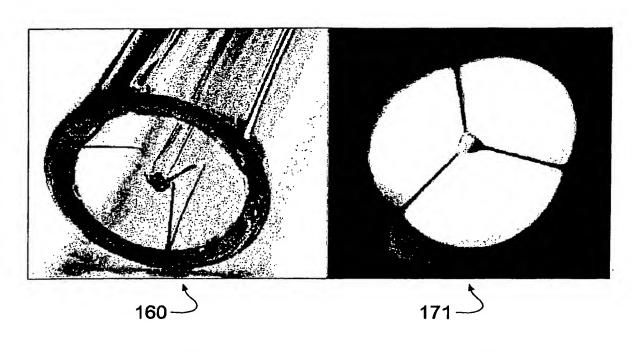
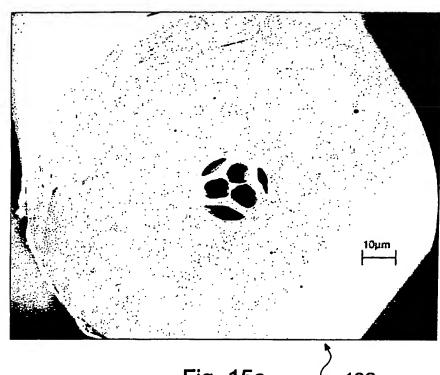


Fig. 15a

Fig. 15b





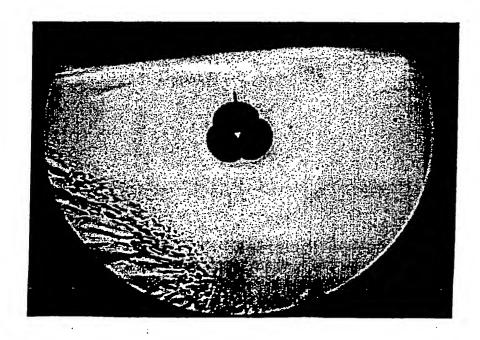


Fig. 15d

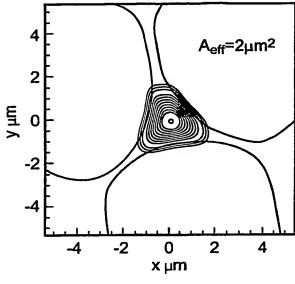


Fig. 16a

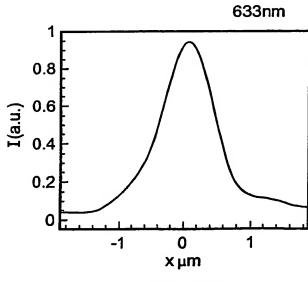
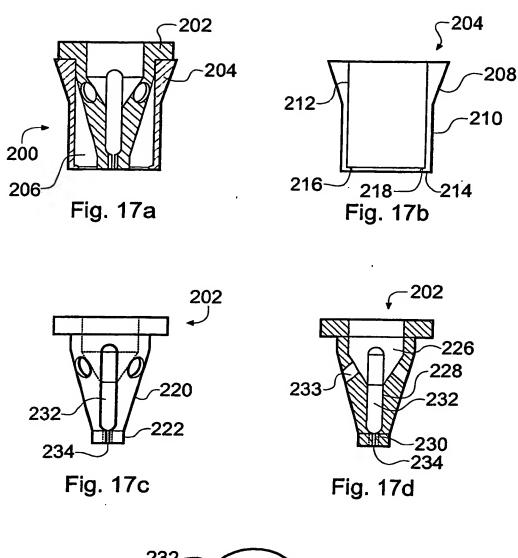


Fig. 16b



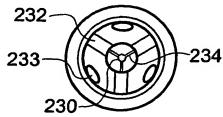
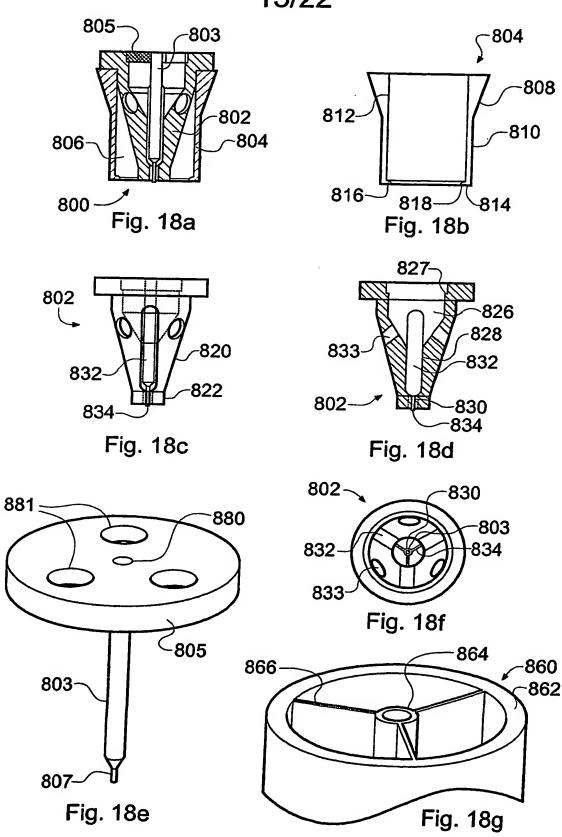
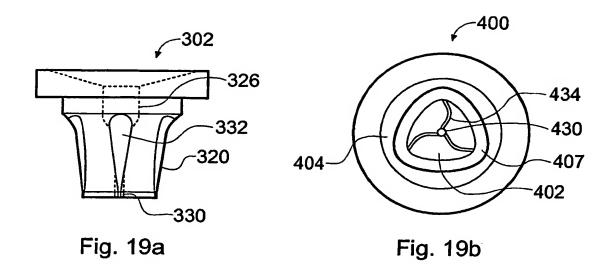


Fig. 17e





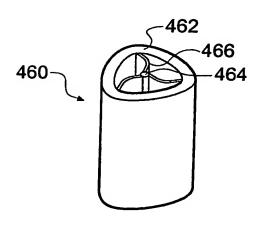


Fig. 19c

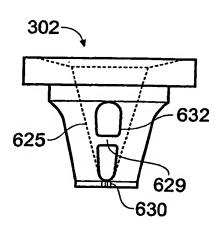


Fig. 19d

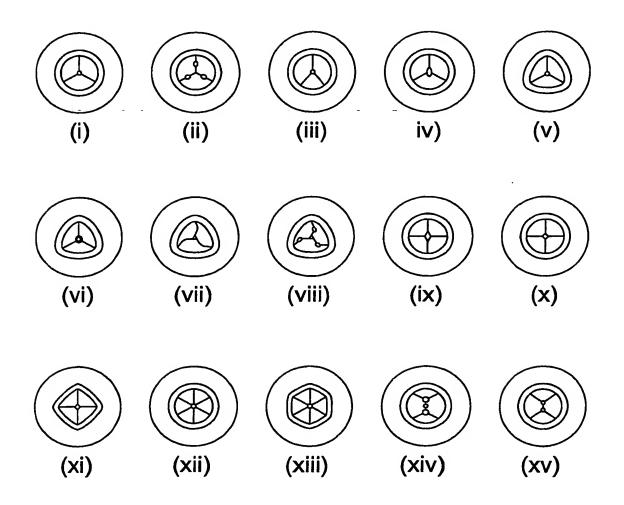
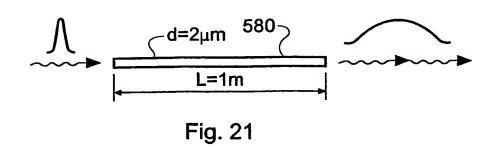


Fig. 20



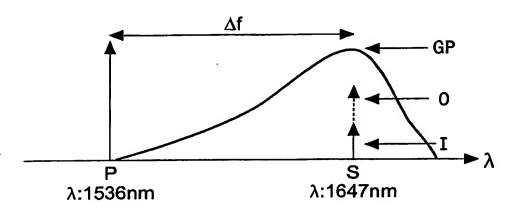


Fig. 22

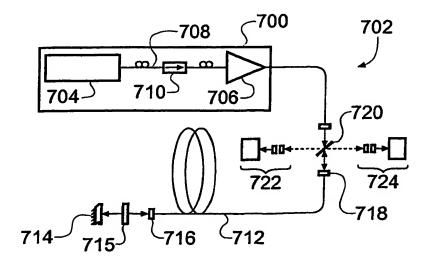


Fig. 23

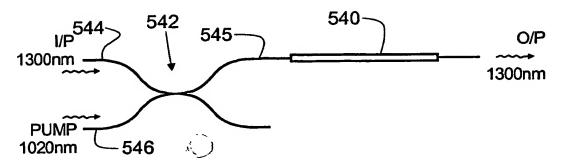


Fig. 24

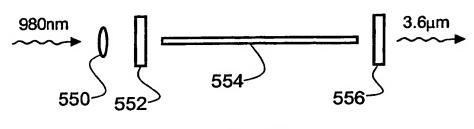


Fig. 25

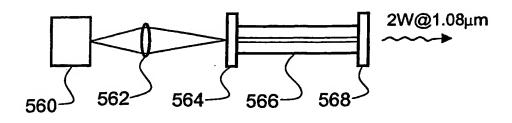


Fig. 26

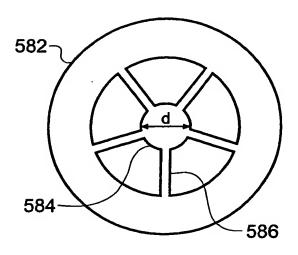


Fig. 27

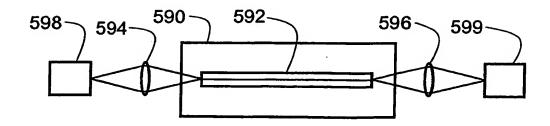


Fig. 28

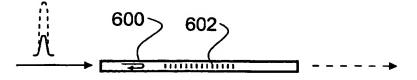


Fig. 29

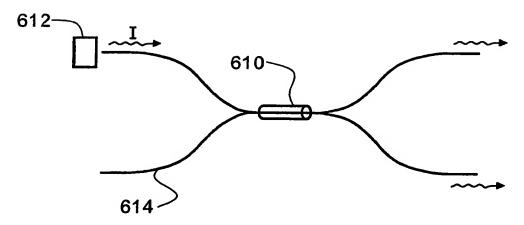


Fig. 30



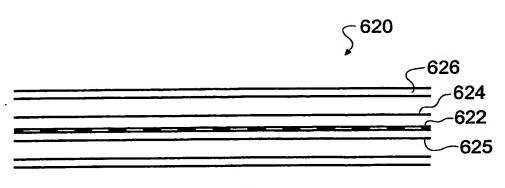


Fig. 31

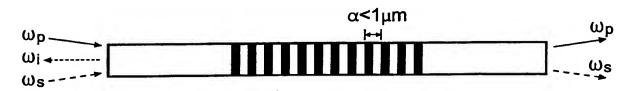


Fig. 32